

زمین‌شناسی و نحوه تشکیل کانسار منگنز حلب، جنوب باختر زنجان

امیر نادری^۱، قاسم نباتیان^{۲*}، مریم هنرمند^۳ و حسین کوهستانی^۴

^۱کارشناسی ارشد، گروه زمین‌شناسی، دانشکده علوم، دانشگاه زنجان، زنجان، ایران

^۲دانشیار، گروه زمین‌شناسی، دانشکده علوم، دانشگاه زنجان، زنجان، ایران

^۳استادیار، دانشکده علوم زمین، دانشگاه تحصیلات تکمیلی علوم پایه زنجان، زنجان، ایران

تاریخ پذیرش: ۱۳۹۶/۰۴/۱۷

تاریخ دریافت: ۱۳۹۶/۱۱/۱۷

چکیده

کانسار منگنز حلب در پهنه سنترج-سیرجان، در فاصله هوایی ۱۰۰ کیلومتری جنوب باختر شهرستان زنجان واقع شده است. واحدهای سنگی موجود در منطقه شامل دگرگونی‌های معادل سازند کهر و مرمر جان گوتاران به سن پرکامبرین هستند. کانه‌زایی منگنز در منطقه حلب به شکل رگه‌ای و توده‌ای درون واحد مرمر جان گوتاران و به مقدار کم تر در واحد شیست رخ داده است. کانی‌های اصلی تشکیل‌دهنده کانه‌زایی منگنز حلب شامل بیرون‌لوزیت، پیسلوملان، منگناتیت و گوتیت بوده و کلسیت و کوارتز نیز کانی‌های باطله همراه را تشکیل می‌دهند. بافت ماده معدنی از نوع گل کلمی، رگه-رگه‌ای، توده‌ای، شانه‌ای، دندان‌سگی، خوش‌ای، جانشینی و بازماندی است. دگرسانی‌های موجود در این منطقه شامل اکتینولیتی، کربناتی و سیلیسی هستند. الگوی به هنجار شده عناصر خاکی کمیاب نسبت به گوشه‌ای اولیه در نمونه‌های مربوط به ماده معدنی و کربنات‌های گرمایی، بیانگر غنی‌شدگی نسبی عناصر خاکی کمیاب سیک نسبت به عناصر خاکی کمیاب سنگین است. نمونه‌های تجزیه شده بی‌هنجری منفی مشخصی در Ce و بی‌هنجری منفی ضعیفی در Eu دارند. الگوی به هنجار شده عناصر جزئی مربوط به نمونه‌های ماده معدنی و کربنات‌های گرمایی نسبت به گوشه‌ای اولیه، بیانگر غنی‌شدگی در عناصر Ba, U, La, Pb, Sr و تهی شدگی در عناصر Rb, Th, Nb, Ce, P, Zr, Ti است. مطالعات صحرایی و میکروسکوپی و همچنین شواهد ژئوشیمیایی حاکی از تشکیل آنها توسط سیالات گرمایی است. چرخش سیالات جوی و یا مگمای در واحدهای پرکامبرین، عناصر مورد نیاز را از جمله منگنز، آهن و کلسیم جهت کانه‌زایی فراهم کرده است. سیالات کانه‌دار هنگامی که با سنگ میزان برخورد کرده‌اند باعث تشکیل کانه‌زایی در منطقه حلب شده‌اند.

کلیدواژه‌ها: کانه‌زایی منگنز، حلب، زنجان، سنترج-سیرجان، ایران.

*نویسنده مسئول: قاسم نباتیان

E-mail: gh.nabatian@znu.ac.ir

۱- پیش‌نوشتار

آنها انجام شد. مطالعات سنگ‌نگاری و کانه‌نگاری با استفاده از میکروسکوپ‌های پلاریزان دو منظوره مدل GX و Nikon انجام شده است. جهت مطالعات زمین‌شیمیایی، ۲ نمونه از کربنات‌های گرمایی و ۵ نمونه از کانسار منگنز و منگنز-گوتیت‌دار انتخاب و با دستگاه خردایش خُرد شده و سپس تا حد ۲۰۰ مش پودر شدند. در نهایت با استفاده از روش ذوب قلایایی و چهار اسید نمونه‌های انتخاب شده، به ترتیب به روش‌های اسپکترومتری نشری پلاسمای جفت شونده القایی (ICP-OES) و طیف‌سنجی جرمی توسط پلاسمای جفت شده القایی (ICP-MS) به ترتیب در شرکت زرآزماء، تهران و Lab West Minerals Analysis استرالیا آنالیز شده‌اند.

۲- زمین‌شناسی و سنگ‌شناسی منطقه مورد مطالعه

با توجه به نقشه زمین‌شناسی مقیاس ۱:۵۰۰۰۰ تهیه شده از منطقه و بر اساس مطالعات صحرایی انجام شده، واحدهای سنگی رخمنون یافته در محدوده کانسار حلب شامل سنگ‌های دگرگون شده معادل سازند کهر (باباخانی و قلمقاش، ۱۳۸۴) هستند که شامل تناوبی از مرمر، مسکوویت شیست و میان‌لایه‌های کوارتزی است. واحدهای مذکور با مرز گسله توسط مرمر جان گوتاران به سن پرکامبرین پوشیده شده‌اند (شکل‌های ۱ و ۲). سنگ‌های دگرگونی منطقه عموماً در امتداد گسل قیرنجه-چهارطاق (باباخانی و قلمقاش، ۱۳۸۴) قرار گرفته‌اند.

واحدهای مسکوویت شیست قدیمی ترین یافته در محدوده مورده استند. این واحدها رنگ قهوه‌ای متمایل به قرمز تا خاکستری روش داشته و با میان‌لایه‌هایی از کوارتزیت، مسکوویت شیست و مرمر همراه هستند (شکل ۲). مسکوویت شیست‌ها در نمونه دستی به رنگ خاکستری روشن تا تیره دیده می‌شوند. این واحدها برگ وارگی بارزی داشته و با تورق مشخص و جلای برآق در سطوح برگ وارگی نمایان هستند (شکل ۳)، فابریک‌های گرانوبلاستیک و لیپوبلاستیک،

رخداد معدنی منگنز منطقه حلب در بخش شمالی پهنه سنترج-سیرجان (Stöcklin, 1968) واقع شده است و بخشی از پهنه کانه‌دار تکاب-انگوران-تخت‌سلیمان است. از دیدگاه فلز‌زایی، این پهنه یکی از مهم‌ترین ایالت‌های فلز‌زایی در ایران محسوب می‌شود (Daliran et al., 2002; Daliran, 2008 ۱۹۹۹ and ۲۰۰۲; Mehrabi et al., 1999)، توزلار (جیدری، ۱۳۹۲)، طلای زرشوران (Asadi et al., 1999)، آقدره (Daliran, 2008)، روی-سرپ انگوران (Gilg et al., 2006; Boni et al., 2007) در این منطقه قرار دارند.

کانسار منگنز حلب در ۱۰۰ کیلومتری جنوب باختر زنجان در محدوده‌ای با مختصات ۴۷°۲۶' تا ۴۷°۴۰' طول خاوری و ۳۶°۳۱' تا ۳۶°۲۹' عرض شمالی قرار دارد. این منطقه یکی از مهم‌ترین مناطق پتانسیل دار منگنز در پهنه تکاب-انگوران-تخت‌سلیمان در استان زنجان به شمار می‌رود. تا قبل از این پژوهش، مطالعه علمی دقیقی در مورد ویژگی‌های زمین‌شناسی و کانه‌زایی منگنز حلب انجام شده بود و تنها اطلاعات موجود شامل نقشه‌های زمین‌شناسی ۱:۲۵۰۰۰۰ (Takab (علوی و امیدی، ۱۳۵۵)، ۱:۱۰۰۰۰۰ (Tخت‌سلیمان (باباخانی و قلمقاش، ۱۳۸۴) و گزارش اکتشافی کانسار آهن و منگنز منطقه میانج-حلب (اکبری، ۱۳۸۹)) بوده است. در این مقاله، ویژگی‌های زمین‌شناختی، سنگ‌شناختی، کانه‌زایی، کانی‌شناختی و ساخت و ساخت و بافت ماده معدنی مورد بررسی قرار گرفته و نوع کانه‌زایی و چگونگی تشکیل آن مورد بحث قرار می‌گیرد.

۳- روش پژوهش

در پژوهش حاضر پس از انجام مطالعات صحرایی، نمونه‌برداری و تهیه نقشه زمین‌شناسی با مقیاس ۱:۵۰۰۰۰، از تعداد ۷۰ نمونه برداشت شده، ۴ مقطع نازک، ۱۷ مقطع نازک-صیقلی و ۲ مقطع صیقلی تهیه شد و مطالعات میکروسکوپی بر روی

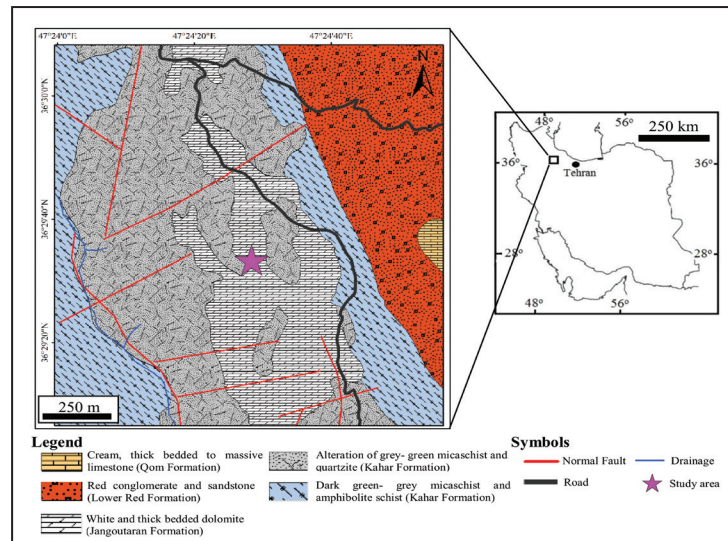
واحد بیشتر به صورت میان‌لایه در بین واحدهای شیستی منطقه رخمنون دارد. تابع مطالعات سنگ‌نگاری یانگر آن است که این سنگ‌ها به طور عمده از کوارتز با خاموشی موجی و حاشیه‌های مضرسی تشکیل شده‌اند (شکل‌های ۳-پ و ت). واحد کوارتزیت، ظاهری خاکستری متمایل به قهوه‌ای و در بعضی قسمت‌ها سفید رنگ داشته و جهت یافته‌گی و برگ وارگی ضعیفی را نیز نشان می‌دهد. این واحد نیز اغلب به وسیله رگه‌هایی از ماده معدنی و رگه‌های تأخیری سیلیسی قطع شده است. پدیده تبلور دوباره از دیگر ویژگی‌های موجود در کوارتزهای واحد کوارتزیتی منطقه حلب است (شکل ۳-ت).

از دیگر واحدهای موجود در این منطقه می‌توان به واحد مرمر جان‌گوتاران اشاره کرد که به دلیل میزان کانه‌زایی منگنز، مهم‌ترین واحد سنگی منطقه نیز به شمار می‌رود. این واحد با مرزی گسلی بر روی واحدهای شیستی و کوارتزیتی منطقه قرار داشته (شکل ۲) و به رنگ سفید تا قهوه‌ای روشن دیده می‌شود. براساس مطالعات میکروسکوپی، فابریک این سنگ‌ها گرانولوبلاستیک است (شکل ۳-ج). کوارتز به مقدار جزیی از دیگر کانه موجود در مرمرها است که همراه با بلورهای کلسیت دیده می‌شود. در زیر میکروسکوپ، این سنگ‌ها عمدتاً مشکل از بلورهای متوسط تادرشت و اغلب شکل دار تا بی‌شکل کلسیت تشکیل شده‌اند. در نمونه‌های مجاور با کانه‌زایی منگنز، رگه-رگجه‌های متعدد تأخیری سیلیسی که این سنگ‌ها را قطع کرده‌اند، مشاهده می‌شود (شکل ۳-چ).

شکل ۱- نقشه زمین‌شناسی منطقه مورد مطالعه، محدوده مورد مطالعه با علامت ستاره بر روی آن مشخص شده است.

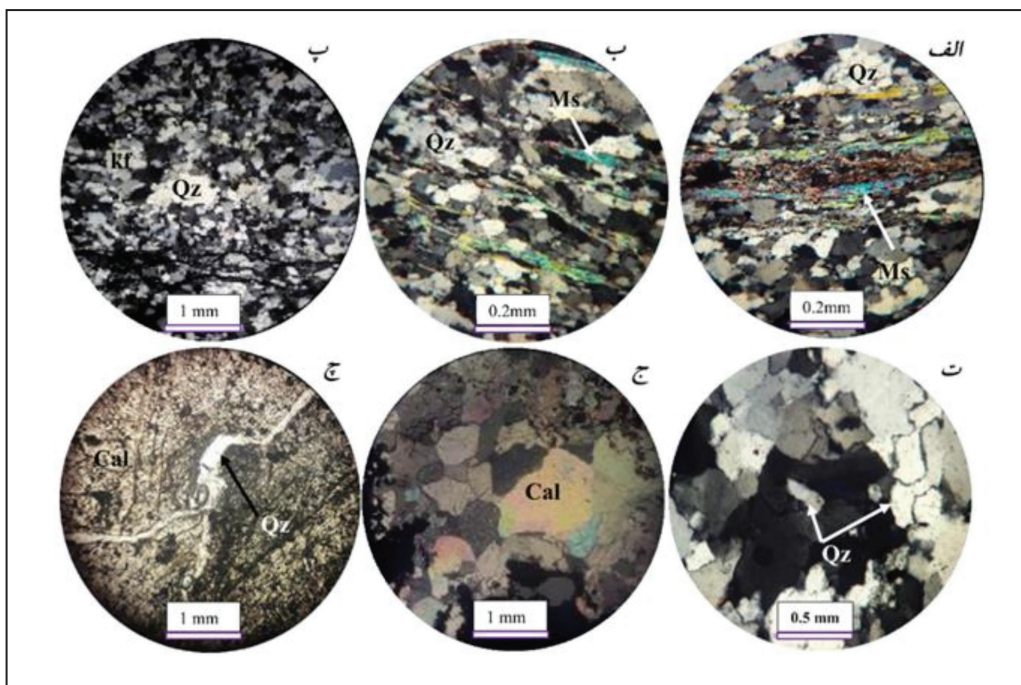
فابریک‌های غالب این سنگ‌ها را تشکیل می‌دهند (شکل‌های ۳-الف و ب). از نظر کانی‌شناسی، کانی‌های اصلی تشکیل‌دهنده این سنگ‌ها شامل کوارتز، مسکوویت، سریسیت، فلدسپات پتاسیم و به مقدار بسیار کم، بیوتیت هستند. مسکوویت‌ها معمولاً بی‌شکل و در اندازه‌های مختلف (۳ میلی‌متر تا بسیار کوچک‌تر) بوده و از حاشیه و در امتداد رخ‌ها در حال جایگزین شدن توسط اکسیدهای آهن هستند. فلدسپات‌ها به صورت بی‌شکل و گاه خودشکل در اندازه‌های مختلف هستند که اغلب دگرسان شده و در موارد جزیی نیز تحت تأثیر تشنهای برشی فرار گرفته‌اند. با توجه به نتایج مطالعات سنگ‌نگاری، سنگ‌های منطقه مورد مطالعه شامل مسکوویت شیست، کوارتزیت و مرمر جان‌گوتاران هستند (شکل ۲).

در بین واحدهای شیستی، یک سری واحدهای دولومیتی دومری شده وجود دارد که به صورت بین‌لایه‌ای و هم‌روند با واحد شیستی در این منطقه گسترش دارند (شکل ۲). قابل ذکر است که این واحد گسترش کمی در منطقه مورد مطالعه دارد. واحد کوارتزیت نیز به صورت میان‌لایه در بین واحدهای مسکوویت شیست قرار دارد که در برخی از بخش‌ها، آثار دگرشکلی به صورت برگ وارگی‌های ضعیف در این سنگ‌ها قابل مشاهده است (شکل ۲-ت). براساس مطالعات سنگ‌نگاری، پرتویلت یا سنگ مادر اولیه کوارتزیت، ماسه سنگ غنی از کوارتز است. واحد کوارتزیت نیز دارای افرای فابریک گرانولوبلاستیک زایده‌دار است که کوارتز به صورت بلورهای بی‌شکل در ابعاد مختلف، کانی غالب و اصلی تشکیل‌دهنده آن است. این



شکل ۲- تصاویر صحرایی از واحدهای زمین‌شناسی در منطقه حلب.
الف و ب) نمایی از واحدهای مرمر و شیستی که با مرز گسله در کنار یکدیگر قرار گرفته‌اند، پ) نمایی از رخمنون واحد مرمر جان‌گوتاران و واحد کوارتزیت موجود در منطقه مورد مطالعه که کانه‌زایی در این بخش در محل مرز این واحدهای روى داده است، پ) نمایی نزدیک از واحد کوارتزیت (در شکل الف دید به سوی جنوب خاور و در شکل پ دید به سوی شمال است).



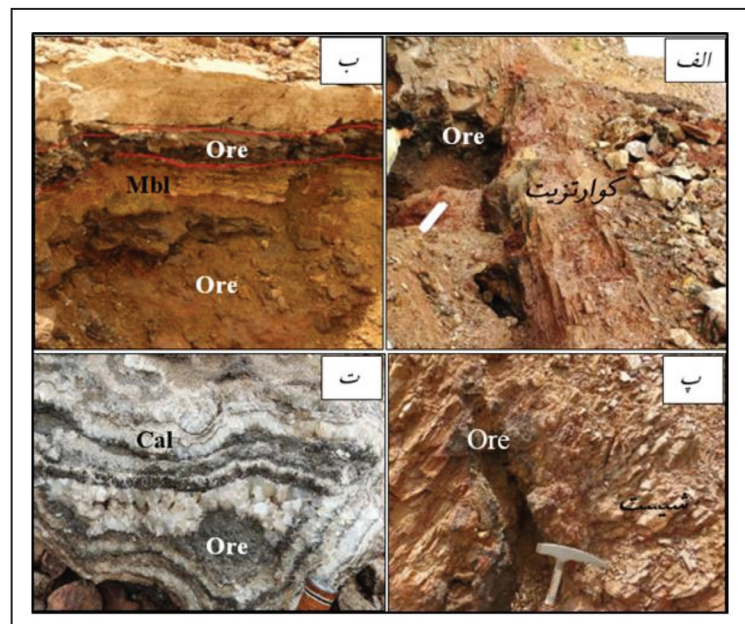


شکل ۳- تصاویر میکروسکوپی از واحدهای موجود در منطقه مورد مطالعه. الف و ب) مسکویت‌های جهت یافته با برگ‌وارگی در زمینه بلورهای کوارتز و فلدسپات پتاسیم، پ- کانی‌های کوارتز با فابریک گرانولاستیک زانده‌دار در واحد کوارتریت، ت) موزاییک‌های کوارتز دارای تبلور مجدد با فابریک گرانولاستیک در واحد کوارتریت، ج) کلسیت با فابریک گرانولاستیک (موزاییکی) در مرمر جان-گوتاران، ج) رگه‌های کوارتری که واحد مرمر جان-گوتاران را قطع کرده‌اند. همه تصاویر به غیر از تصویر ج در نور XPL گرفته شده است. تصویر ج در نور PPL گرفته شده است (علام اختصاری کانی‌ها: Qz: کوارتز، Ms: مسکویت، Cal: فلدسپات، Kfs: پتاسیم فلدسپات).

۴- کانه‌زایی و دگرسانی

سنگی، ماده معدنی و بخش‌های کانه‌دار تا حدودی پوشیده شده‌اند. بخش اصلی کانه‌زایی منگنز درون واحد مرمری جان-گوتاران و بخشی از آن در مرزین مرمر جان-گوتاران و واحد شیستی تشکیل شده است (شکل ۴-الف، ب و پ). با توجه به اینکه کانه‌زایی منگنز در این منطقه لایه‌بندی و برگ‌وارگی کوارتریت‌ها را قطع کرده است، می‌توان اظهار داشت که کانه‌زایی بعد از تشکیل سنگ میزان و فرآیند دگرگونی روی داده است.

براساس مطالعات صحرایی انجام شده، کانه‌زایی منگنز در کانسار حلب دارای حداقل درازای ۲۰۰ متر و ضخامت بین ۱/۵ تا ۵ متر (به طور میانگین ۳ متر) با روند شمال خاوری- جنوب باختり با ژئومتری عدسی، رگه‌ای و تودهای شکل حداث شده است (شکل‌های ۴ و ۵). همان‌طور که در شکل ۴ نیز مشخص شده است کانه‌زایی منگنز لایه‌بندی و برگ‌وارگی سنگ میزان را قطع کرده است. در این منطقه به عنوان فرآیندهای تشکیل خاک در بعضی بخش‌ها، رخمنون‌های



شکل ۴- الف) نمایی از کانه‌زایی منگنز حلب به صورت رگه‌ای در داخل واحدهای شیستی و کوارتریتی، ب) نمایی از کانه‌زایی منگنز حلب به صورت رگه‌ای در داخل واحد مرمر جان-گوتاران، پ) نمایی از رگه منگنز در واحد مسکویت شیست، ت) نمایی نزدیک از کانه‌زایی منگنز به همراه کلسیت گرمابی که دارای بافت دندان سگی هستند. (Cal: کلسیت، Ore: مرمر، Mbl: ماده معدنی).

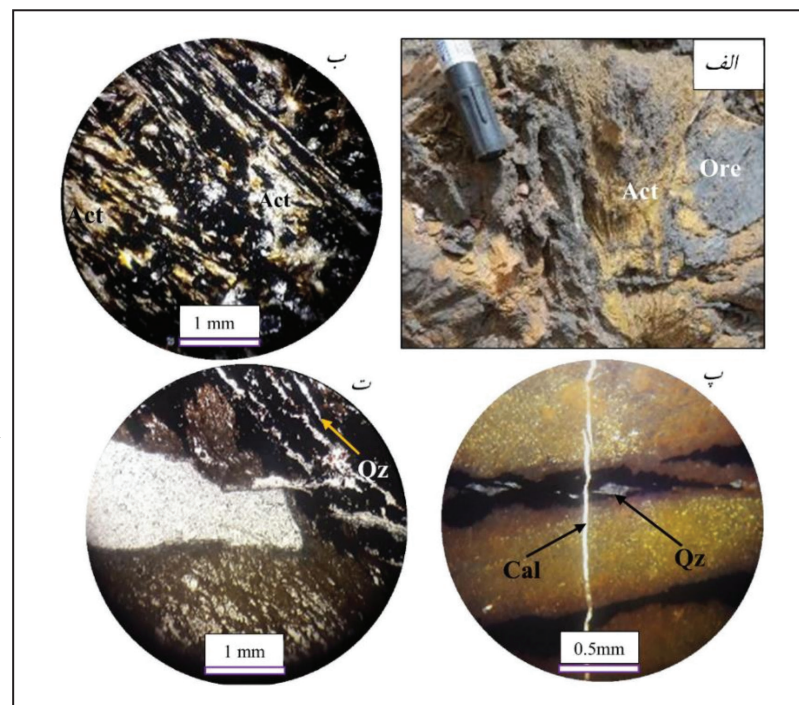
شکل ۵- انواع بافت و ساخت کائنسنگ در کانسار منگنز حلب. الف) بافت رگه- رگچه‌ای منگنز و گوتیت در واحد مرمر جان گوتاران، ب) بافت خوش‌ای کانی پیروولوزیت، پ) نمایی از کانه‌زایی منگنز همراه با کلسیت‌های گرمابی با بافت شاه‌ای، ت) کانه‌زایی به صورت بافت گل کلمی (کلوفرمی) همراه با کربنات‌های گرمابی. (Cal: کلسیت، Ore: ماده معدنی).



رگه- رگچه‌های کربناتی (نسل دوم) که با اندازه‌های مختلف قابل مشاهده هستند، سنگ میزان و ماده معدنی را قطع کرده‌اند (شکل ۶- پ). این رگه- رگچه‌ها، رگه و رگچه‌های کوارتزی (سیلیسی) را نیز قطع کرده (شکل ۶- پ) و می‌توان اظهار داشت که آخرین مرحله کانه‌زایی در این کانسار هستند. دگرسانی سیلیسی به مقدار کم و به صورت رگه- رگچه‌ای در این منطقه تشکیل شده است (شکل ۶- ت). ضخامت رگه- رگچه‌های سیلیسی مختلف بوده و از حد میلی متر تا چندین سانتی متر مشاهده می‌شوند. قابل ذکر است که رگچه‌های سیلیسی کانی‌سازی را قطع کرده و خود توسط رگچه‌های کربناتی نسل دوم قطع شده‌اند.

براساس مطالعات انجام شده، دگرسانی‌های موجود در کانسار منگنز حلب در بخش‌های کانه‌دار شامل دگرسانی‌های اکتینولیتی، کربناتی و سیلیسی است. اکتینولیتی شدن، در کانسار منگنز حلب از گسترش کمی برخوردار است و اغلب در اطراف بخش‌های کانه‌دار قرار دارد. در نمونه‌های دستی و مقاطع میکروسکوپی، این کانی به صورت بلورهای رشتہ‌ای و سوزنی قهقهه‌ای تیره به همراه اکسید آهن دیده می‌شود (شکل ۶- الف و پ). دگرسانی کربناتی در کانسار حلب طی دو مرحله رخ داده است. در مرحله اول کانی کلسیت (نسل اول) به صورت بلورهای درشت همراه با کانه‌زایی منگنز بوده (شکل‌های ۴- ت و ۵- پ و ت) و در مرحله بعدی

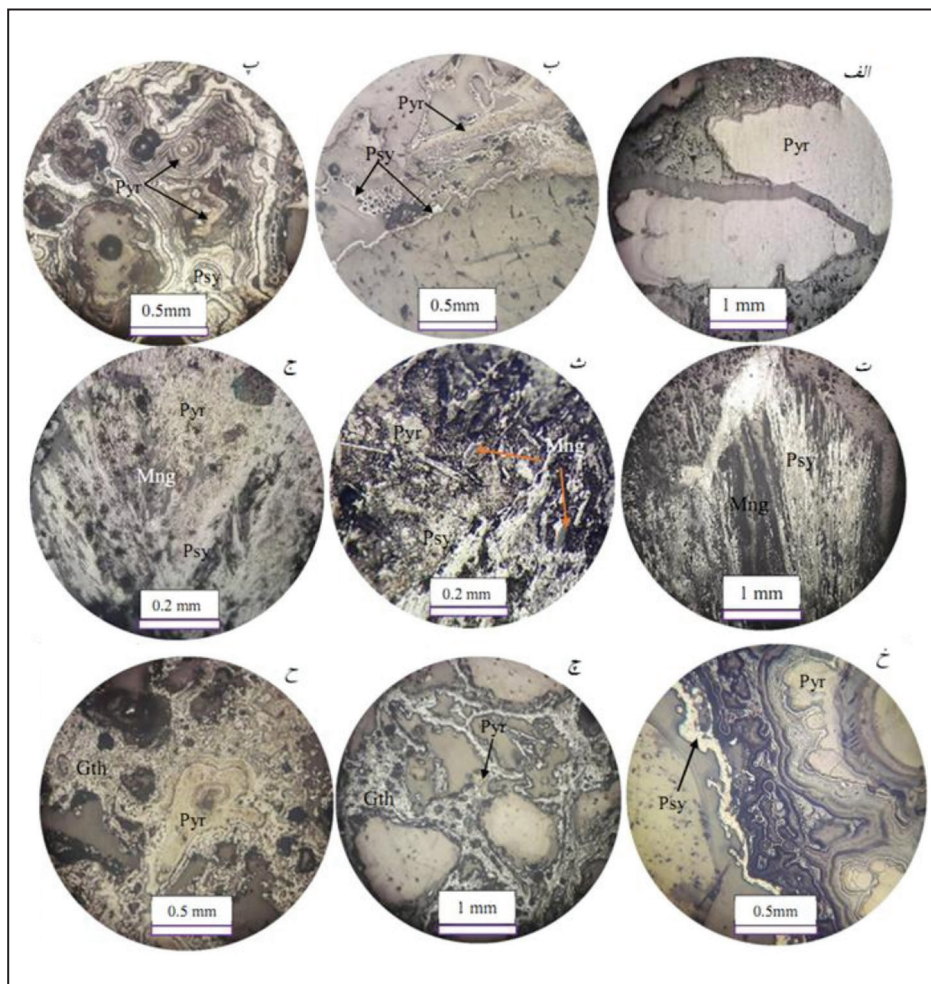
شکل ۶- انواع دگرسانی در کانسار منگنز حلب، الف) تصویر نمونه دستی از دگرسانی اکتینولیتی که همراه با ماده معدنی مشاهده می‌شود، ب) نمای میکروسکوپی از دگرسانی اکتینولیتی که به صورت بلورهای رشتہ‌ای و سوزنی شکل در تصویر قابل مشاهده است، پ) نمایی میکروسکوپی از رگچه‌های کلسیتی که بعد از رگچه‌های سیلیسی تشکیل شده و آنها را قطع کرده است، ت) تصویر میکروسکوپی از رگچه‌های کوارتزی که ماده معدنی را قطع کرده است. همه تصاویر میکروسکوپی در نور عبوری پلازیزه مقاطع (XPL)، تهیه شده‌اند (علام اختصاری کانی‌ها: اکتینولیت، Cal: کلسیت، Ore: ماده معدنی، Qz: کوارتز).



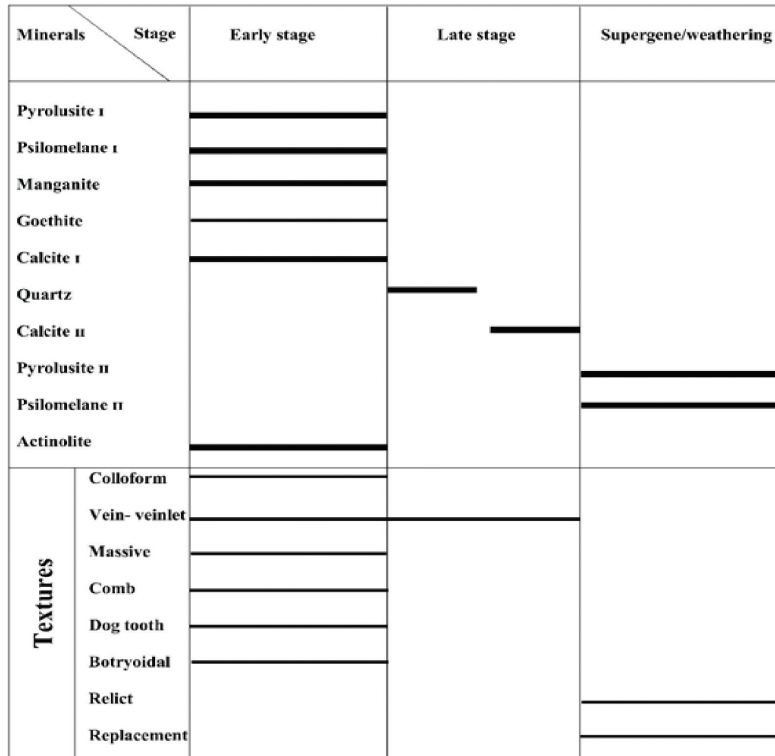
۵- کانی شناسی، ساخت و بافت و توالی پاراژنتیکی

رگه- رگچه‌ای است (شکل‌های ۷- ب تا ث). این کانی هم به صورت اولیه و هم به صورت ثانویه در این کانسار تشکیل شده است. در برخی از موارد، آثاری از جایگزینی کانی پسیلوملان توسط کانی پیرولوژیت نیز مشاهده می‌شود و در برخی از موارد کانی پسیلوملان جایگزین منگنایت شده است (شکل ۷- ث). منگنایت نیز از دیگر کانی‌های کانسنگ منگتر حلب به شمار می‌رود که به صورت هم‌رشد با پیرولوژیت و پسیلوملان دیده می‌شود (شکل‌های ۷- ت تا ج). قابل ذکر است که بخش‌هایی از منگنایت طی فرآیندهای هوازدگی و بروزن زاد از حواشی و در راستای شکستگی‌ها به کانی‌های ثانویه از جمله پیرولوژیت و پسیلوملان تبدیل شده و فقط آثار کمی از آن به صورت بافت بازماندی باقی مانده است (شکل‌های ۷- ت تا ج). گوتیت از دیگر کانی‌های موجود در کانسار منگنتر حلب می‌باشد که به مقدار کمتر همراه با کانی‌های منگنیزدار مشاهده می‌شود. این کانی به همراه کانی‌های منگنتر از جمله پیرولوژیت به صورت رگه- رگچه‌ای و گل کلمی در این کانسار روی داده است (شکل‌های ۴- الف و ۵- ج و ح). توالی پاراژنتیکی کانسار منگنتر حلب در شکل ۸ نشان داده است. همان‌طور که در این شکل مشاهده می‌شود کانی‌های پیرولوژیت (نسل اول)، پسیلوملان (نسل اول)، منگنایت، گوتیت، اکتینولیت و کربنات‌های گرمابی (نسل اول) در مرحله اول و از سیالات گرمابی تشکیل شده‌اند. در مرحله بعد (کانه‌زایی تأخیری)، رگه- رگچه‌ای کوارتزی و کربناتی در این کانسار تشکیل شده و در مرحله آخر (برونزاد و هوازدگی) کانی‌های ثانویه تشکیل شده‌اند.

شواهد مطالعات میکروسکوپی بیانگر آن است که کانه‌زایی منگنتر در کانسار حلب دارای کانی شناسی ساده بوده و به طور عمده از پیرولوژیت، پسیلوملان، منگنایت به همراه هیدروکسید آهن تشکیل شده است. قابل ذکر است که در اکثر بخش‌ها، کربنات‌های درشت‌بلور نیز همراه با ماده معدنی دیده می‌شوند (شکل‌های ۴- ت و ۵- ت). کلسیت و کوارتز کانی‌های باطله در این کانسار به شمار می‌روند. مطالعات صحرایی و میکروسکوپی انجام شده نشان می‌دهد که بافت ماده معدنی شامل گل کلمی (کلوفرمی)، رگه- رگچه‌ای، توده‌ای، شانه‌ای، دندان‌سگی، خوش‌ای، جانشینی و بازماندی است. براساس مطالعات میکروسکوپی، پیرولوژیت فراوان ترین (حدود ۴۵ درصد) کانی کانسنگ منگنتر حلب به شمار می‌رود. بافت‌های پیرولوژیت در کانسار منگنتر حلب نسبتاً متنوع بوده و شامل بافت‌های گل کلمی (شکل ۷- الف)، رگه- رگچه‌ای و جانشینی (شکل ۷- ب) است. پیرولوژیت در کانسار منگنتر حلب به صورت اولیه و ثانویه تشکیل شده است. پیرولوژیت‌های اولیه به صورت گل کلمی، رگه- رگچه‌ای و نوارهای متناوب با پسیلوملان (شکل‌های ۷- الف تا پ) مشاهده می‌شود. پیرولوژیت ثانویه به صورت بلورهای ریز در شکستگی‌ها و نهان‌بلورین با بافت جانشینی، جانشین کانی پسیلوملان و منگنایت شده است (شکل‌های ۷- ت و ث). این نسل از پیرولوژیت در نتیجه فرآیندهای هوازدگی و بروزن زاد تشکیل شده است. پسیلوملان دومین کانی فراوان (۳۰ درصد) کانسنگ منگنتر حلب به شمار می‌رود. بافت‌های پسیلوملان در کانسار منگنتر حلب شامل بافت گل کلمی، جانشینی و



شکل ۷- تصاویر میکروسکوپی (نور بازتابی) از کانه‌ها و بافت آن‌ها در کانسار منگنتر حلب. (الف) بافت گل کلمی (کلوفرمی) پیرولوژیت، (ب) بافت رگه- رگچه‌ای و جانشینی کانی پیرولوژیت به جای پسیلوملان، (پ) پیرولوژیت‌های اولیه همراه با نوارهای متناوب پسیلوملان، (ب) بافت گل کلمی، (ت) بلورهای سوزنی شکل پسیلوملان که جایگزین منگنایت شده است، (ث) بلور ریز و سوزنی شکل پسیلوملان به همراه منگنایت در حال تجزیه شدن به پیرولوژیت، (ج) کانی منگنایت به صورت اولیه در حال تجزیه شدن به پیرولوژیت و پسیلوملان، (چ) بافت رگه- رگچه‌ای گوتیت همراه با پیرولوژیت، (ح) بافت رگه- رگچه‌ای گوتیت همراه با پیرولوژیت، (خ) کانی هاسمانیت به صورت ثانویه در اطراف پیرولوژیت و پسیلوملان (علایم اختصاری کانی‌ها: Pyr: پیرولوژیت، Gth: گوتیت، MnG: منگنایت، Psy: پسیلوملان).



شکل ۸- توالی پاراژنیک، بافت و ساخت کانی‌ها برای مواد معدنی و باطله در کانسار منگنز حلب.

۶- زمین‌شیمی

گوتیت دار بین ۰/۲۲ تا ۳/۶۴ درصد متغیر است. میزان SiO_2 در نمونه‌های مربوط به کانسنگ منگنز گوتیت دار و کربنات گرمابی بین ۱/۰ تا ۶/۵۴ درصد در تغییر هستند که بیشترین مقدار آن در نمونه‌های حاوی دگرسانی سیلیسی و اکتینولیتی است. همان طور که در این جدول مشاهده می‌شود، محتوای MnO در نمونه‌های کانسار منگنز حلب بین ۱۵/۰ تا ۶۱/۷۳ درصد متغیر است که کمترین مقدار آن مربوط به نمونه‌های کربنات‌های گرمابی هستند. همچنین با توجه به جدول ۱، عیار Fe_2O_3 در نمونه‌های ماده معدنی در بازه ۶۳/۰ تا ۵۴/۹ درصد و با میانگین ۳۰/۰ درصد تغییر می‌کند که بیشترین مقدار مربوط به نمونه گوتیتی است. قابل ذکر است که محتوای P_2O_5 نیز به ندرت در برخی از نمونه‌ها تا ۳۳/۰ درصد می‌رسد (جدول ۱).

در این بخش نتایج تجزیه‌های شیمیایی بخش‌های کانه‌دار در کانسار منگنز حلب مورد بررسی قرار گرفته است (جدول‌های ۱ و ۲). هدف از این مطالعات، تعیین الگوی عناصر جزئی و کمیاب خاکی و تعیین غنی شدگی و تهی شدگی‌های عنصری مرتبط با دگرسانی‌های گرمابی در سنگ‌های میزان و پهنه‌های کانه‌دار است. اکسیدهای اصلی می‌توانند جهت شناسایی کانسارهای منگنز تحت شرایط مختلف در محیط‌های زمین‌شناسی به کار روند (Crerar et al. 1982). در همین راستا، به منظور تعیین نوع کانه‌زایی در کانسار منگنز حلب، تعدادی از مهم‌ترین نسبت‌های ارائه شده در این زمینه استفاده شده است. همان‌طور که در جدول ۱ مشخص است محتوای CaO در نمونه‌های مربوط به کربنات گرمابی بین ۵/۰ تا ۵۵/۰ درصد متغیر است. همچنین محتوای CaO در نمونه‌های ماده معدنی منگنز-

Sample no.	HA-3	HA-6	HA-10	HA-11	HA-15	HA-20	HA-22
Sample type	Mn Ore	Silicified Mn ore	Carbonate	Carbonate	Silicified Mn ore	Geothite	Mn Ore
SiO_2	0.98	54.64	0.06	0.10	46.16	1.94	2.06
Al_2O_3	0.47	0.19	0.02	0.07	0.17	0.44	0.80
BaO	4.74	0.01	0.01	0.90	0.01	0.03	10.65
CaO	3.64	1.24	55.01	52.50	0.85	0.64	0.22
Fe_2O_3	50.39	7.12	0.10	0.80	11.13	90.54	0.63
K_2O	0.38	0.82	0.01	0.18	0.82	0.02	1.85
MgO	0.08	2.80	0.73	0.14	0.64	0.03	0.02
MnO	20.28	21.35	0.20	5.16	30.48	0.15	73.61
Na_2O	0.01	0.08	0.01	0.01	0.26	0.01	0.01
P_2O_5	0.170	0.330	0.010	0.020	0.110	0.070	0.090
SO_3	0.870	<0.05	0.290	<0.05	<0.05	<0.05	<0.05
TiO_2	0.01	0.02	0.02	0.01	0.01	0.01	0.01
LOI	16.43	10.11	43.66	40.10	9.19	5.71	9.93
Total	98.45	98.76	100.13	100.04	99.88	99.64	99.93

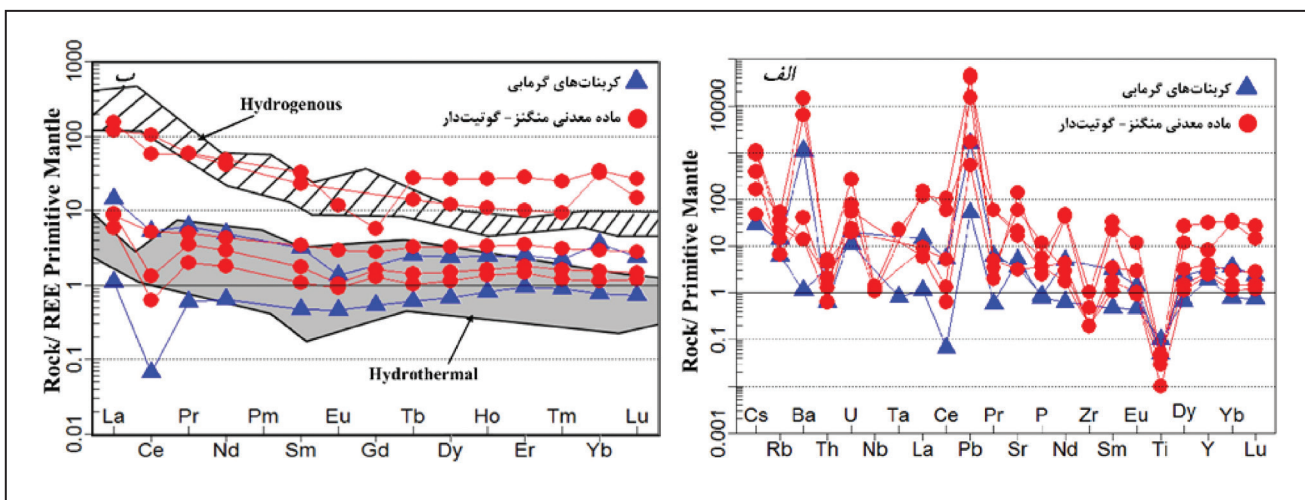
جدول ۱- نتایج تجزیه‌های شیمیایی اکسیدهای اصلی در کربنات‌های گرمابی (نمونه‌های HA-10 و HA-11) و ماده معدنی منگنز-گوتیت دار (نمونه‌های HA-22، HA-20، HA-15، HA-3، HA-6) در کانسار منگنز حلب. نمونه‌های HA-15 و HA-6 دارای تمامی داده‌ها بر حسب درصد هستند. دگرسانی سیلیسی و اکتینولیتی هستند.

(LREE) Ti, Nb, Ni, Th و همچنین غنی شدگی نسبی عناصر نادر خاکی سبک (HREE)، همگی خاکی از تشکیل آنها توسط سیالات گرمایی است.

بررسی الگوی رفتاری عناصر جزئی و کمیاب خاکی در مواد معدنی کاربرد فراوانی در تفسیر تاریخچه تشکیل و نحوه تشکیل کانسارهای دارد (Lottermoser, 1992). الگوی عناصر کمیاب خاکی برای کانسنگ منگتر-گوتیت دار و کربنات‌های گرمایی منطقه حلب که نسبت به گوشته اولیه همان‌گونه که در شکل ۹-ب مشاهده می‌شود، نمونه‌های تجزیه شده، بی‌هنجری منفی در عناصر Ce و Eu دیده می‌شود. با توجه به این شکل، الگوی نمودار عناصر کمیاب خاکی تقریباً مسطح است. عنصر Ce علاوه بر ظرفیت ۳ می‌تواند متناسب با شرایط احیایی و اکسیداسیون محیط، به ترتیب دارای ظرفیت ۲ و ۴ نیز باشد. عنصر Ce در شرایط اکسیدان رفتار متفاوتی نسبت به دیگر عناصر کمیاب خاکی دارد و میزان آن در محیط‌های اکسیدی و اسیدی کاهش آشکاری نشان می‌دهد. با توجه به بی‌هنجری‌های منفی Ce در کانسنگ منگتر حلب به نظر می‌رسد که سیال کانزایی دارای حالت اکسیدان و اسیدی بوده است. بی‌هنجری Ce به عواملی همچون دمای سیال، نزدیکی به منبع گرمایی، شرایط احیاء و مقدار آلوگی یا آلایش هیدروژنیک بستگی دارد (Hein et al., 1997).

الگوی عناصر کمیاب خاکی (REE) بهنجار شده نسبت به گوشته اولیه (McDonough and Sun, 1995) برای کانسنگ منگتر، گوتیت دار و کربنات‌های گرمایی در شکل ۹-الف نشان داده شده است. همچنان که در این شکل مشاهده می‌شود، الگوی مربوط به نمونه کانسنگ منگتر و گوتیت دار شباهت زیادی با الگوی نمونه کربنات‌های گرمایی نشان می‌دهد. همان‌طور که در این شکل نشان داده شده است، نمونه‌های مربوط به کربنات گرمایی از روندی مشابه با کانسنگ منگتر و گوتیت دار پیروی می‌کنند به طوری که نمونه‌های مربوط به کربنات گرمایی دارای بی‌هنجری منفی مشخصی در عناصر Ba, Ce, Ti هستند که نشان‌دهنده کانسارهای با منشأ گرمایی است (Nicholson, 1992). بر این اساس، می‌توان اظهار داشت که ارتباط ژنتیکی بین کانزایی منگتر منطقه و کربنات‌های گرمایی وجود دارد. قابل ذکر است که شواهد صحرایی و ساخت و بافتی نیز مؤید این موضوع است.

همچنان که در شکل ۹-الف مشاهده می‌شود غنی شدگی مشخصی از عناصر Ba, U, La, Pb, Sr کربنات‌های گرمایی وجود دارد. به باور (Nicholson, 1992) کانسارهای گرمایی منگتر در عناصر Ba, La, Pb, Sr غنی شدگی نشان می‌دهند. همان‌طور که در شکل ۹-الف مشاهده می‌شود نمونه‌های مورد مطالعه بی‌هنجری منفی مشخصی در عناصر Rb, Th, Nb, Ce, P, Zr, Ti به نشان می‌دهند. مطالعه زمین‌شیمی کانسنگ‌ها و به ویژه زیگراگی بودن نمودارهای عنکبوتی عناصر جزئی، بی‌هنجری منفی عناصر



شکل ۹-الف الگوی بهنجار شده عناصر جزئی و خاکی کمیاب در نمونه‌های منگتر- گوتیت دار و کربنات‌های گرمایی، (الف) نمودار عناصر جزئی گرمایی بهنجار شده نسبت به گوشته اولیه (McDonough and Sun, 1995) در کاسار حلب، (ب) نمودار عناصر خاکی کمیاب بهنجار شده نسبت به گوشته اولیه (McDonough and Sun, 1995) در کاسار حلب و مقایسه الگوی توزیع عناصر خاکی کمیاب کانسنگ منگتر حلب با کانسارهای گرمایی (Toth, 1980) و آب زاد.

همان‌طور که در نمودار بهنجار شده عناصر کمیاب خاکی نسبت به گوشته اولیه برای کانسنگ حلب مشاهده می‌شود (شکل ۹-ب) عنصر Eu دارای بی‌هنجری جزئی است. بی‌هنجری Eu همیشه نشان‌دهنده منشأ واحدی برای کانسارها نمی‌باشد. به این دلیل، در بسیاری از کانسارهای منگتر گرمایی بی‌هنجری Eu منفی است. وجود بی‌هنجری Eu به طور گسترده‌ای به ترکیب سنگ‌هایی که سیالات گرمایی آنها را تحت تأثیر قرار داده، وابسته است (Glasby, 1997) (Sabatino et al., 2011) (Klinkhammer et al., 1994). معتقد هستند که فاصله‌گیری سیال گرمایی از منشأ خود می‌تواند باعث کاهش بی‌هنجری Eu از مقادیر مثبت به سمت مقادیر منفی شود که این موضوع به علت جدایش تدریجی منگتر از سیال و جذب Eu در محیط توسط اکسیدهای منگتر است. همان‌طور که در شکل ۹-ب مشاهده می‌شود، بی‌هنجری منفی ضعیف در عنصر Eu وجود دارد که این بیانگر

با توجه به شکل ۹-ب، تعدادی از نمونه‌های کانسنگ منطقه مورد مطالعه، بی‌هنجری منفی نسبتاً بزرگی از Ce نشان می‌دهند. بی‌هنجری منفی Ce یکی از ویژگی‌های بازز کانسارهای گرمایی است، در حالی که بی‌هنجری مثبت Ce و نشان‌دهنده کانسارهای با منشأ آبزاد (کانسارهای نهشته شده به وسیله ترکیبی از فرآیندهای هیدروژنیک- دیاژنیک) است (Hein et al., 1997). اعداد به دست آمده از Ce/Ce* در نمونه‌های تجزیه شده ماده معدنی و کربنات‌های گرمایی (جدول ۲، به غیر از نمونه-3) نیز بیانگر آن هستند که کانسار منگتر حلب تحت تأثیر سیالات گرمایی تشکیل شده است. بررسی نمودار عناصر کمیاب خاکی (شکل ۹-ب) نشان می‌دهد که الگوی تفریق این عناصر نسبتاً کم تا متوسط است، به این صورت که، LREE‌ها تغییرات بیش تری داشته و مقادیر HREE‌ها تقریباً از روند ثابتی برخوردار هستند.

به کربنات گرمابی دارای بی هنجاری منفی در عناصر Ce و Eu هستند که نشان دهنده کانسارهای با منشأ گرمابی است. بر این اساس می‌توان اظهار داشت که ارتباط ژنتیکی بین کانه‌زایی منگنز منطقه و کربنات‌های گرمابی وجود دارد که نشان دهنده تشکیل همزمان و هم منشأ بودن ماده معدنی و کربنات‌های گرمابی است. البته قابل ذکر است که دو نمونه از نمونه‌های تجزیه شده به ماده معدنی که دارای دگرسانی سیلیسی و اکتینولیتی بوده در محدوده کانسارهای منگنز آب‌زاد قرار می‌گیرند.

فاصله گرفتن سیال گرمابی از منشأ باشد. داده‌های مربوط به Eu^*/Eu نمونه‌های تجزیه شده تأییدی بر این موضوع است. همان‌طور که در این جدول نیز مشاهده می‌شود، مقادیر به دست آمده برای Eu^*/Eu ، کمتر از یک (تفربیاً نزدیک به یک) است. این مطلب پیانگر مشاوا گرمابی کانسار منگنز حلب است.

همان‌طور که در شکل ۹-ب مشاهده می‌شود نمونه‌های مربوط به کربنات گرمابی نیز دارای روند مشابه با کانسنگ منگنز-گوتیت دار هستند. به طوری که نمونه‌های مربوط

جدول ۲- نتایج تجزیه‌های شیمیایی عناصر جزئی و کمیاب خاکی در کربنات‌های گرمابی (نمونه‌های HA-10 و HA-11) و ماده معدنی منگنز-گوتیت دار (نمونه‌های HA-3 و HA-6) در کانسار منگنز حلب. نمونه‌های HA-15 و HA-20، HA-22، HA-21، HA-6، HA-5 دارای دگرسانی سیلیسی و اکتینولیتی هستند.

تمامی داده‌ها بر حسب گرم در تن (ppm) هستند.

Sample no.	HA-3	HA-6	HA-10	HA-11	HA-15	HA-20	HA-22
Sample type	Mn Ore	Silicified Mn ore	Carbonate	Carbonate	Silicified Mn ore	Geothite	Mn Ore
Ag	3.9	3	< 0.01	0.64	0.65	0.18	9.5
Al	2300	1010	53	70	870	2310	4280
As	0.002	109	5.8	539	570	0.001	1340
Ba	0.004	< 0.2	7.3	7080	< 0.2	271	0.009
Be	35.5	< 0.2	6.3	3.7	1.9	28	7.6
Bi	0.1	6.2	< 0.1	< 0.1	3.2	10.7	< 0.1
Ca	0.002	8860	0.024	0.023	5740	4610	1560
Cd	12.8	64	7.17	7.6	2.53	2.4	2.69
Co	116	18.6	10.8	50	79.1	4.8	282
Cr	30	44	< 2	9	101	3	110
Cs	1	22.8	< 0.1	0.6	19.2	8.3	3.5
Cu	1187	16.9	10.6	177.8	6.7	61.7	970.3
Fe	0.031	0.004	< 100	4660	0.006	0.06	3230
Ga	8.12	10.4	1.45	7.2	12.9	8.81	23.4
Ge	47	9.45	< 0.05	3.37	8.41	133	28.1
Hf	0.27	0.04	< 0.02	< 0.02	< 0.02	0.04	0.1
Hg	0.14	< 0.05	< 0.05	< 0.05	< 0.05	< 0.05	0.1
In	0.17	< 0.01	< 0.01	< 0.01	0.04	0.13	0.09
K	3150	6630	14	1520	6560	386	0.0015
Li	1.2	31.9	< 0.5	< 0.5	22.3	1.3	1.7
Mg	633	0.0016	4520	820	3840	306	227
Mn	0.014	0.014	1470	0.0038	0.197	942	0.037
Mo	94.6	0.3	< 0.1	29.3	3.1	120	216
Na	135	674	266	74	2140	152	215
Nb	0.9	< 0.5	< 0.5	< 0.5	< 0.5	0.8	0.7
Ni	124	8	38	44	27	82	187
P	509	1060	70	80	317	324	222
Pb	6180	6830	7.7	240	79.7	2260	262
Rb	8.5	21.5	3.7	8.2	14.4	3.9	31.8
Re	< 0.01	< 0.01	< 0.01	< 0.01	< 0.01	< 0.01	< 0.01
S	3930	484	1750	101	394	117	589
Sb	15.6	80.3	0.2	1.6	86.5	602	10.2
Se	1.07	2.99	0.42	0.57	0.27	0.54	0.42
Sn	< 0.2	< 0.2	< 0.2	< 0.2	< 0.2	< 0.2	< 0.2
Sr	320	1150	104	70.8	2780	61.8	421
Ta	0.83	< 0.01	0.03	< 0.01	< 0.01	< 0.01	< 0.01
Te	< 0.2	0.3	< 0.2	< 0.2	0.5	< 0.2	< 0.2
Th	0.42	0.17	< 0.02	0.05	0.05	0.1	0.35
Ti	< 10	52	< 10	< 10	12	< 10	34
Tl	54.5	1.5	< 0.1	40.2	14.9	0.5	288
U	5.32	0.39	0.22	0.4	1.07	1.56	0.48

ادامه جدول -۲

Sample no.	HA-3	HA-6	HA-10	HA-11	HA-15	HA-20	HA-22
Sample type	Mn Ore	Silicified Mn ore	Carbonate	Carbonate	Silicified Mn ore	Geothite	Mn Ore
V	117	5	< 2	13	5	53	240
W	0.9	1	< 0.1	0.8	0.6	27.5	0.8
Zn	1150	6000	263	349	1270	1120	888
Zr	11	2	< 1	< 1	2	2	5
Lu	1.83	0.1	0.05	0.16	0.08	0.19	1
Yb	15.3	0.67	0.34	1.58	0.5	1.28	14.1
Tm	1.7	0.11	0.06	0.15	0.08	0.21	0.63
Er	12.2	0.79	0.41	1.09	0.64	1.52	4.42
Ho	4.01	0.24	0.12	0.36	0.2	0.49	1.61
Dy	17.8	1	0.45	1.6	0.75	2.16	8.07
Tb	2.73	0.14	0.06	0.25	0.1	0.32	1.4
Gd	3.1	0.89	0.29	< 0.05	0.7	1.51	< 0.05
Eu	1.82	0.16	0.07	0.21	0.14	0.45	< 0.02
Sm	13.4	0.71	0.19	1.29	0.43	1.38	9.36
Nd	59.8	3.68	0.8	6.18	2.25	5.43	51.9
Pr	15	0.88	0.15	1.55	0.51	1.27	14.6
Ce	173	2.21	0.11	8.85	1.05	8.58	96.7
La	77.2	5.87	0.72	9.28	3.83	5.62	98.8
Y	135	11.9	8.16	13.8	10.6	17.2	35.4
Sc	21	< 1	< 1	1	< 1	< 1	4
Sum REE	553.62	30.35	12.97	47.40	22.86	48.61	342.02
Eu/Eu*	0.862	0.615	0.911	2.525	0.779	0.952	0.089
Ce/Ce*	1.384102	0.258482	0.078788	0.635267	0.194437	0.844307	0.734084

- استفاده از نمودارها و نسبت‌های زمین‌شیمیایی

(Rogers et al., 2001). هر چند که منگنز و آهن از لحاظ زمین‌شیمیایی رفتار بسیار مشابهی دارند، اما به دلیل تحرک زمین‌شیمیایی پیشتر منگنز نسبت به آهن به ویژه در محیط‌های رسویی، جدایش این دو از یکدیگر امکان‌پذیر می‌شود. نسبت Mn/Fe در نهشته‌های گرمابی از مقادیر پیشتر از ۱۰ تا مقادیر کمتر از ۰/۱ در تغییر بوده و در نهشته‌های هیدروژن برابر با ۱ است (Rona, 1988). در کانسار منگنز حلب میانگین نسبت Mn/Fe برابر ۲۴/۳۶ بوده که بین ۰/۰۰۱ تا ۱۲۱/۸۵ در تغییر است و با توجه به میانگین این نسبت می‌توان تفیری بالای این دو عنصر را در این کانسار مدنظر قرار داد. با توجه به این موارد می‌توان اظهار کرد که نمونه‌های کانسنج کانسار منگنز حلب در محدوده نهشته‌های گرمابی قرار می‌گیرند.

-۲. نمودار نسبت Si/Al

در این روش، مقادیر Si در برابر Al در مقابل Al در مقابله با منشأ ارائه می‌شود. این نمودار جهت تشخیص کانسارهای با منشأ‌های مختلف استفاده می‌شود (شکل ۱۰-الف). کانسارهای گرمابی منگنز عموماً مرتبط با ژلهای سیلیسی آهن‌دار (Ferrigenous) به وجود می‌آیند که به وسیله فرآیندهای فورانی زیردریایی و تخلیه فلز در داخل رسوبات دریایی تشکیل شده‌اند (Roy, 1992). به همین جهت درصد وزنی Si در مقابل Al در این کانسارها معرف درصد بالای SiO_2 در طی فعالیت‌های بروندی است. اما در کانسارهای با منشأ تخریبی، Al نسبت به Si از درصد بالاتری برخوردار است. این مستعلمه ناشی از تخریب و تجزیه فلدسپات‌ها در طی فرآیندهای حمل و نقل از خشکی به حوضه رسویی است.

پژوهشگران متعددی از جمله (Crerar et al. 1982)، (Bonatti 1975) و Nicholson (1992) تلاش کردند تا با استفاده از زمین‌شیمی عناصر اصلی و جزئی، کانسارهای رسویی دریایی منگنز را از کانسارهای گرمابی، تفکیک کنند. Bonatti (1975) نسخه اولیه نمودار سه‌تایی Fe/Mn-10(Co+Cu+Ni) را جهت تفکیک کانسارهای رسویی دریایی و گرمابی آهن-منگنز ترسیم کردند. این نمودار نشان‌دهنده اکسیدهای گرمابی در عناصر Zn, Co, Cu, Ni است که نسبت به کانسارهای رسویی دریایی تهی شدگی نشان می‌دهند. (Crerar et al. 1982)، (Nicholson 1992) کانسارهای گرمابی را با استفاده از نمودار Al-Si شناسایی کردند. از نمودار دوتایی Mg(%) - Na (%) برای تمایز کردن کانسارهای رسویی دریایی از آب شیرین منگنز استفاده کرده است. علاوه بر این، (Nicholson 1992) استفاده از نمودار دوتایی درصد وزنی Co, Ni در مقابل درصد وزنی As+Cu+Mo+Pb+V+Zn را برای شناسایی اکسیدهای رسویی دریایی از اکسیدهای گرمابی منگنز توصیه کرده است. از آنجایی که، اغلب این نمودارهای دوتایی و سه‌تایی، جهت تفکیک کانسارهای منگنز با تیپ‌های ژنتیکی مختلف طراحی شده است، در نتیجه کاربرد آنها در راستای شناسایی تیپ کانسار منگنز منطقه حلب سودمند است. در ادامه به برخی از آن‌ها اشاره شده است:

-۳. نسبت Mn/Fe

یکی از شاخص‌هایی که به وسیله آن می‌توان کانسارهای منگنز با خاستگاه گرمابی را از نهشته‌های با خاستگاه هیدروژن تفکیک کرد نسبت Mn/Fe در آنها است

گرمابی قرار می‌گیرند. این امر می‌تواند به دلیل غنی‌شدن گرمابی این کانسار نسبت به عناصر ذکر شده و همچنین به علت نهشت سریع آنها توسط سیالات گرمابی در محیط‌های کم عمق باشد.

۷-۵. نمودار دوتایی (Co+Ni)-(As+Cu+Mo+Pb+V+Zn)-

این نمودار اولین بار توسط (Nicholson 1992) جهت تفکیک کانسارهای گرمابی، رسوبی-دریایی و کانسارهای حاصل از آب‌های شیرین به کار برده شد (شکل ۱۰-د). محققین زیادی معتقد هستند که کانسارهای گرمابی منگنز نسبت به عناصر W, Ti, Sr, Sb, Pb, Ge, Ba, B, As در حین تهنشت (Nicholson 1992) معتقد است کانسارهای گرمابی منگنز در عناصری از جمله As غنی‌شده‌اند و در عناصری مانند Ni و Co تهی‌شده‌اند. بر مبنای این ویژگی‌ها و با توجه به نمودار شکل ۱۰-د می‌توان اظهار داشت که کانسار منگنز حلب در گروه کانسارهای با منشأ گرمابی قرار می‌گیرد.

۷-۶. نمودار سه‌تایی (Ni+Cr)-(Cu+Zn)-(Mo)

این نمودار اولین بار توسط (Hein et al. 1994) جهت تعیین منشأ عناصر جزی در کانسارهای منگنز گرمابی به کار گرفته شده است (شکل ۱۰-ز). در این نمودار، قطب مربوط به عناصر Ni+Cr مربوط به شسته شدن عناصر از سنگ‌های اولترامافیک موجود در زیر کانسار است. محدوده‌ی مربوط به عناصر Cu+Zn، مربوط به شسته شدن عناصر از کانی‌های سولفیدی در بخش‌های زیرین کانسار در دماهای بالا است که در طی چرخش سیالات در بخش‌های زیرین، عناصر از جمله منگنز از واحدهای زیرین که دارای کانی‌های سولفیدی هستند شسته شده و به بخش‌های بالایی انتقال یافته‌اند. محدوده‌ی مربوط به عنصر Mo نیز نشان‌دهنده آن است که عناصر از سنگ‌های اسیدی تا حدوداً مربوط به محیط‌های کمانی منشأ گرفته‌اند (Hein, 2008).

همان‌طور که در شکل ۱۰-ز مشاهده می‌شود، نمونه‌های منطقه مورد مطالعه در قطب Cu+Zn قرار می‌گیرند. این مطلب بیانگر آن است که عنصر منگنز از سیالات دما بالایی تهنشت پیدا کرده است که این سیالات از کانی‌های سولفیدی تدفین شده در اعماق آن بخش‌ها منشأ گرفته‌اند. قابل ذکر است که کانه‌زایی‌های سولفیدی مس-روی-سرپ در بخش‌های زیرین مجموعه واحدهای دگرگونی پرکامبرین این منطقه گزارش شده است (کرمی و همکاران، ۱۳۹۴؛ توفیقی و همکاران، ۱۳۹۵).

نسبت Si به Al در نودول‌های فرومگنتز کف دریا و رسوبات دریایی برابر ۳ است. Holtstam and Mansfeld (2001) معتقد است اگر نهشته‌های گرمابی با ذرات تخریبی (کانی‌های رسی) مخلوط گردند، ممکن است نسبت Al/Si کم‌تر شود و با توجه به همبستگی مثبت و بالای بین Al و Ti که حدود ۰/۹۲ است، ورود مواد تخریبی و مخلوط شدن آنها با مواد گرمابی قطعی است. همچنین (Mucke et al. 1999) نسبت پایین Al/Si را ناشی از اختلاط مقداری مواد تخریبی در حین تهنشت کربنات‌ها می‌داند. در کانسار منگنز منطقه حلب نسبت Al/Si به طور کلی بین حدود ۲ تا ۲۵٪ تغییر می‌کند، این میزان مشابه زیادی با کانسارهای منگنز با منشأ گرمابی دارد. چنانچه از نمودار شکل ۱۰-الف نیز پیداست، نمونه‌های کانسار حلب در محدوده کانسارهای با منشأ گرمابی قرار می‌گیرند.

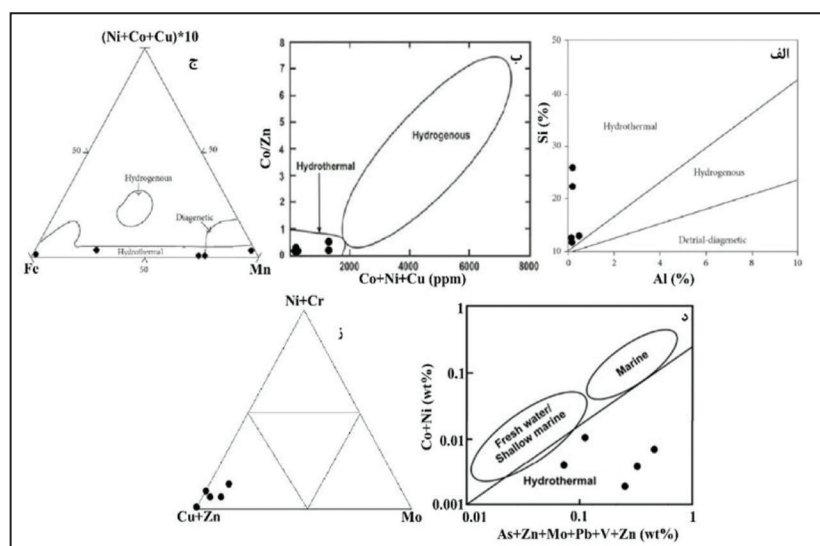
۷-۷. نمودار (Co/Zn)-(Co+Cu+Ni)

این نمودار توسط (Toth 1980) برای تفکیک کانسارهای فرومگنتز گرمابی از هیدرورُزنس مورد استفاده قرار گرفت (شکل ۱۰-ب). کانسارهای فرومگنتز نوع آبزد نسبت به کانسارهای گرمابی از غنی‌شده‌ی بالاتری در عناصری مانند Co, Cu, Ni حاکی از ورود اندک این عناصر از طریق فعالیت‌های گرمابی و در عوض اشتاقاق بالای Zn را از منبع گرمابی نشان می‌دهد (Toth, 1980). همان‌طور که در شکل ۱۰-ب نشان داده شده است نمونه‌های منطقه مورد مطالعه در محدوده کانسارهای نوع گرمابی قرار می‌گیرند.

۷-۸. نمودار Fe-Mn-(Ni+Co+Cu).10

برای اولین بار این نمودار سه‌تایی را جهت تمايز کانسارهای گرمابی از کانسارهای رسوبی-دریایی، ارائه نمود. یکی از معیارهای تشخیصی در این نمودار (شکل ۱۰-ج) غلطت مس، کبات و نیکل است. مقدار این عناصر در نهشته‌های تیپ هیدرورُزنس نسبت به نهشته‌های گرمابی بیشتر است. علت این امر، رشد کند و در نتیجه، حضور طلائی تر آنها در آب دریا و تأثیر فرآیندهای مختلفی است که در جذب و پیویزه ندول‌های مناطق پلازیک، (Usui and Someya, 1997) در مقایسه با آب‌های کم عمق از عناصری مانند Co, Ni, Cu غنی‌تر هستند. بنا بر نظر تعدادی از محققین، علت این امر شاید به دلیل نرخ رسوبگذاری پایین و خاصیت جذب کاتیون توسط اکسیدهای آب‌دار آهن و منگنز است. همان‌طور که در نمودار شکل ۱۰-ج مشاهده می‌شود، نمونه‌های منطقه مورد مطالعه در محدوده کانسارهای

شکل ۱۰- نمودارهای دوتایی و سه‌تایی جهت تعیین منشأ کانسار منگنز حلب. الف) نمودار دوتایی Si به Al در انواع کانسارهای منگنز (Choi and Hariya, 1992) مربوط به کانسار منگنز حلب در محدوده کانسارهای گرمابی قرار دارند، ب) نمودار دوتایی (Co/Zn)-(Co+Cu+Ni) (Toth, 1980) (Co+Ni)-(As+Cu+Mo+Pb+V+Zn) (Nicholson, 1992)، و موقعیت نمونه‌های کانسار منگنز حلب در محدوده کانسارهای گرمابی قرار گرفته است، ج) نمودار سه‌تایی Fe-Mn-(Ni+Co+Cu).10 (Toth, 1980; Bonatti, 1975) و موقعیت نمونه‌های کانسار منگنز حلب بر روی آن، د) نمودار دوتایی (Co+Ni)-(As+Cu+Mo+Pb+V+Zn) (Nicholson, 1992)، و موقعیت نمونه‌های کانسار منگنز حلب بر روی آن، ز) نمودار سه‌تایی (Ni+Cr)-(Cu+Zn)-(Mo) (Hein et al., 1994) و موقعیت نمونه‌های کانسار منگنز حلب بر روی آن.



۸- نتیجه‌گیری

توسط سیالات گرمابی است. به دلیل نبود داده‌های ایزوتوپی پایدار از جمله اکسیژن، کربن و هیدروژن و همچنین نبود مطالعات میان‌بارهای سیال در این کانسار، اطهار نظر در مورد منشأ سیالات کانه‌ساز مشکل است. ولی براساس شواهد موجود می‌توان اطهار داشت که منشأ سیالات کانه‌ساز آب‌های جوی و یا مگمایی است. قابل ذکر است که یک‌سری توده‌های نفوذی در منطقه مجاور (بخش باختری منطقه) این کانسار وجود دارد که باعث اسکارنی شدن واحدهای مرمر و شیستی در منطقه شده است. نفوذ این مگما به داخل واحدهای یاد شده و همچنین چرخش سیالات جوی و یا مگمایی در سنگ‌های دگرگون شده (معادل سازند کهر) منطقه، باعث شده که منگتر، آهن و همچنین کلسیم از این سنگ‌ها شسته شود. این سیالات حین چرخش و بالا آمدن از شکستگی‌ها و گسل‌ها، در سنگ‌های میزان مناسب از جمله مرمر جان‌گوتاران موادمعدنی خود را نهشت داده و باعث کانه‌زایی در این منطقه شده است. قابل ذکر است که در حین کانه‌زایی، کربنات‌های درشت بلور و همچنین دگرسانی اکینولیتی همراه با آن تشکیل شده است. مطالعات انجام شده طی سال‌های اخیر در این ناحیه، منجر به شناسایی کانه‌زایی‌ها و بی‌هنجاری‌های متعددی از کانسارهای آهن و منگتر در این منطقه از ایران شده است. کانه‌زایی‌های مذکور در واحدهای آتشفشاری- رسویی دگرگون شده معادل سازند کهر روی داده‌اند. لذا بررسی این واحدهای سنگی و کانه‌زایی منگتر حلب در این بخش از پهنه سندج- سیرجان می‌تواند به اکتشاف کانسارهای مشابه در سایر بخش‌های آن منجر شود.

مطالعات انجام شده حاکی از آن است که پیرولوژیت، پسیلوملان، منگنایت و گوتیت کانه‌های اصلی کانسار منگتر حلب بوده و کلسیت و کوارتز کانه‌های باطله آن را تشکیل می‌دهند. کانه‌زایی منگتر در منطقه حلب با ژئومتری عدیش شکل، رگه‌ای و توده‌ای، در واحدهای شیستی و مرمر جان‌گوتاران روی داده و لایه‌بندی و برگ‌وارگی سنگ میزان راقطع کرده است. بافت‌های مشاهده شده در این کانسار شامل بافت‌های گل‌کلمی، رگه- رگچه‌ای، شانه‌ای، خوش‌ای، دندان‌سگی، توده‌ای، جانشینی و بازماندی است. مقایسه الگوی بهنجار شده عناصر کمیاب خاکی در نمونه‌های مربوط به کربنات‌های همراه با کانه‌زایی و نمونه‌های منگتر و گوتیت دار، بیانگر غنی شدگی جزئی عناصر کمیاب خاکی سبک (LREE) نسبت به عناصر کمیاب خاکی سنگین (HREE) است. همچنین نمونه‌های آنالیز شده بی‌هنجاری منفی مشخص در Ce به همراه بی‌هنجاری منفی ضعیفی در Eu که نشان دهنده ویژگی‌های باز کانسارهای با منشأ گرمابی است. مقایسه الگوی بهنجار شده عناصر جزئی مربوط به نمونه‌های ماده معادنی منگتر و گوتیت دار و همچنین کربنات‌های همراه با ماده معادنی نسبت به گوتیت اولیه، بیانگر غنی شدگی مشخص در عناصر Ba, U, La, Pb, Sr در نمونه‌های تجزیه شده است. نمونه‌های Rb, Th, Nb, Ce, P, Zr, Ti نشان می‌دهند. مطالعه ژئوشیمی کانسگ‌ها، بی‌هنجاری منفی عناصر Ti, Nb, Ni, Th نسبت به عناصر کمیاب خاکی سبک (LREE)، همگی حاکی از تشکیل آنها

کتابنگاری

- اکبری، م.، ۱۳۸۹- گزارش نهایی اکتشاف کانسار منگتر- آهن منطقه میانج- حلب زنجان، شرکت آب راه زنجان، سازمان صنعت، معدن و تجارت استان زنجان.
 باباخانی، ع. و قلمقوش، ج.، ۱۳۸۴- نقشه زمین‌شناسی ۱:۱۰۰۰۰۰ تخت سلیمان، سازمان زمین‌شناسی و اکتشاف معدنی کشور.
 توفیقی، ف.، مختاری، م.ا.، ایزدیار، ج. و کوهستانی، ح.، ۱۳۹۵- ویژگی‌های زمین‌شناسی و کانه‌زایی رخداد معدنی حلب، جنوب باختر دنای. هشتمنی همایش انجمن زمین‌شناسی اقتصادی ایران، دانشگاه زنجان.
 خیدری، م.، ۱۳۹۲- زمین‌شناسی و سن‌سنگی و خاستگاه رخدادهای طلای توپلار، عربشاه و گوزل‌بلاغ در ناحیه قره- تکاب. رساله دکتری زمین‌شناسی اقتصادی، دانشگاه تربیت مدرس.
 علوفی، م. و امیدی، م.، ۱۳۵۵- نقشه زمین‌شناسی ۱:۲۵۰۰۰ تکاب. سازمان زمین‌شناسی و اکتشاف معدنی کشور.
 کرمی، ف.، کوهستانی، ح.، مختاری، م.ع. و عظیم‌زاده، ا.م.، ۱۳۹۴- ویژگی‌های زمین‌شناسی و کانه‌زایی کانسار روی- سرب (نفره) حلب، جنوب باختر زنجان. مجموعه مقالات سی و چهارمین گردهمایی و دومین کنگره بین‌المللی تخصصی علوم زمین، سازمان زمین‌شناسی و اکتشافات معدنی کشور.

References

- Asadi, H. H., Voncken, J. H. L., Kühnel, R. A. and Hale, M., 1999- Invisible gold at Zarshuran, Iran. *Economic Geology* 94: 1367-1374.
- Bonatti, E., 1975- Metallogenesis of spreading centers. *Annual Rev. Earth Plant Sci.*, 3: 401-431.
- Bonatti, E., Kraemer, T. and Rdell, H., 1972- Classification and genesis of submarine iron- manganese deposits of the ocean floor. In: D.R. Horn (Ed.), *Ferromanganese deposits of the ocean floor*. Aren House Harriman, pp. 149-166.
- Boni, M., Gilg, H. A., Balassone, G., Schneider, J., Allen, C. R. and Moore, F., 2007- Hypogene Zn carbonate ores in the Angouran deposit, NW Iran. *Mineralium Deposita* 42: 799-820.
- Choi, J. H. and Hariya, Y., 1992- Geochemistry and depositional environment of Mn oxide deposits in the Tokorobet, northeastern Hokkaido, Japan. *Economic Geology*, 87(5): 1265-1274.
- Crerar, D. A., Namson, J., Chyi, M. S., Williams, L. and Feigenson, M. D., 1982- Manganiferous cherts of the Franciscan Assemblage: I. General geology, ancient and modern analogues and implications for hydrothermal convection at oceanic spreading centers. *Economic Geology*, 77(3): 519-540.

- Daliran, F., 2008- The carbonate rock-hosted epithermal gold deposit of Agdarreh, Takab geothermal field, NW Iran, hydrothermal alteration and mineralization. *Mineralium Deposita*, 43: 383-404.
- Daliran, F., Hofstra, A. H., Walther, J. and Stüben, D., 2002- Aghdarreh and Zarshuran SRHDG deposits, Takab region, NW Iran. GSA Annual Meeting, Abstract with Programs, Session 63-8.
- Daliran, F., Walther, J. and Stüben, D., 1999- Sediment-hosted disseminated gold mineralization in the North Takab geothermal field, NW- Iran. In: Stanley, C.J. et al. (Eds.): *Mineral Deposits: Processes to Processing*. Proceed. 5th bienn. SGA Meeting and 10th Quadr. IAGOD Meeting, pp. 837-840.
- Gilg, H. A., Boni, M., Balassone, G., Allen, C. R., Banks, D. and Moore, F., 2006- Marble-hosted sulphide ores in the Angouran Zn-(Pb-Ag) deposit, NW Iran: interaction of sedimentary brines with a metamorphic core complex. *Mineralium Deposita* 41: 1-16.
- Glasby, G. P., 1997- Fractionation of manganese from iron in Arcean and Proterozoic sedimentary ores. In: K. Nicholson, J.R. Hein, B. Buhn, and S. Dasgupta (Eds.), *Manganese mineralization: geochemistry and mineralogy of terrestrial and marine deposits*. Geological Society of London, Special Publication, 119, pp. 29-42.
- Hein, J. R., 2008- Cobalt rich ferromanganese crusts: Global distribution, composition, origin and research activities, in Workshop on Minerals Other than Polymetallic Nodules of the International Seabed Area, vol. 1, pp. 188–256, Int. Seabed Auth., Kingston, Jamaica.
- Hein, J. R., Yeh, H. W., Gunn, S. H., Gibbs, A. E. and Wang, C. H., 1994- Composition and origin of hydrothermal ironstones from central Pacific seamounts. *Geochimica et Cosmochimica Acta* 58, 179–189.
- Hein, J., Koschinsky, A., Halbach, P., Manheim, F. T., Bau, M., Kang, J. and Lubick, N., 1997- Iron and manganese oxide mineralization in the Pacific. Geological Society of London, Special Publication 119, 123–138.
- Holtstam, D. and Mansfeld, J., 2001- Origin of a carbonate- hosted Fe-Mn-(Ba-As-Pb-Sb-W) deposit of Langban- type in central Sweden. *Mineralium Deposita*, 36(7): 641-657.
- Klinkhammer, G. P., Elderfield, H., Elderfield, H., Edmond, J. M. and Mitra, A., 1994- Geochemical implications of rare earth element patterns in hydrothermal fluids from mid- ocean ridges. *Geochemica et CosmochimicaActa*, 58 (23): 5105-5113.
- Lottermoser, B. G., 1992- Rare earth elements and hydrothermal ore formation processes. *Ore Geol. Rev.*, 7: 25-41.
- McDonough, W. F. and Sun, S. S., 1995- Composition of the Earth. *Chemical Geology*, 120: 223-253.
- Mehrabi, B., Yardley, B. W. D. and Cam, J. R., 1999- Sediment-hosted disseminated gold mineralization at Zarshuran, NW Iran. *Mineralium Deposita*, 34: 673-696.
- Mucke, A., Dzigbodi Adjimah, K. and Annor, A., 1999- Mineralogy, petrology, geochemistry and genesis of the paleoproterozoic Birimian manganese formation of Nsuta/Ghana. *Mineralium Deposita*, 34(3): 297-311.
- Nicholson, K., 1992- Contrasting mineralogical– geochemical signatures of manganese oxides: guides to metallogenesis. *Economic Geology*, 87(5): 1253–1264.
- Rogers, T. D. S., Hodkinson, R. A. and Cronan, D. S., 2001- Hydrothermal manganese deposits from Tonga-Kermadec Ridge and Lau Basin Region, Southwest Pacific. *Marine Georesources and Geotechnology*, 19 (4): 245268.
- Rona, P. A., 1988- Criteria for recognition of hydrothermal mineral deposits in oceanic crust. *Economic Geology*, 73(2): 135-160.
- Roy, S., 1992- Environments and processes of manganese depositon. *Economic Geology*, 87 (5): 1218-1236.
- Sabatino, N., Neri, R., Bellanca, A., Jenkyns, H. C., Masetti, D. and Scopelliti, G., 2011- Petrograohy and high-resolution geochemical records of lower Jurassic manganese-rich deposits from Monte Mangart, Julian Alps. *Petrography Palaeoclimatology Palaeoecology Journals*, 299: 97-109.
- Stocklin, J., 1968- Structural history and tectonics of Iran: a review. *American Association of Petrological Geology B. v. 52, no.7*, pp: 1229-1258.
- Toth, J. R., 1980- Deposition of submarine crusts rich in manganese and iron. *Geological Society of America Bulletin*, 91(1): 44–54.
- Usui, A. and Someya, M., 1997- Destribution and composition of marine hydrogenetic and hydrothermal manganese deposits in the northwest Pacific. *Geological Society Special Publication*, 119: 177-198.

Geology and genesis of Halab Mn deposit, SW Zanjan

A. Naderi¹, Gh. Nabatian^{2*}, M. Honarmand³ and H. Kouhestani²

¹M.Sc. Student, Department of Geology, Faculty of Science, University of Zanjan, Zanjan, Iran

²Associated Professor, Department of Geology, Faculty of Science, University of Zanjan, Zanjan, Iran

³Assistant Professor, Faculty of Earth Sciences, Institute for Advanced Studies in Basic Sciences (IASBS), Zanjan, Iran

Received: 2017 June 20

Accepted: 2018 February 06

Abstract

Halab manganese deposit is located in the Sanandaj- Sirjan zone, 100 km southwest of Zanjan. The rock units in the study area include Precambrian Kahar and Jangoutaran marble Formations. Manganese mineralization in the Halab area, occurred as veins and massive in the Jangoutaran marble and minor amount in the schist unit. The main important minerals in the Halab manganese mineralization consist of pyrolusite, psilomelane, manganite and goethite, which calcite and quartz occurred as associated gangue minerals. The ore textures include cloform, vein-veinlets, massive, comb, dogtooth, botryoidal, replacement and relict. Actinolite, carbonate and silicic are the main important alterations in this area. Primitive mantle normalized of the rare earth elements (REE) patterns in the orebody and hydrothermal carbonate samples show that the samples relatively enriched in light REE. The analyzed samples show significant negative anomaly in Ce and weak negative anomalies in Eu. Furthermore, the primitive mantle normalized pattern of trace elements in the orebody and hydrothermal carbonate show significant enrichment in Ba, U, La, Pb, Sr and negative anomaly in Rb, Th, Nb, Ce, P, Zr and Ti. The field and microscopic studies as well geochemical evidences suggest that the mineralization formed by hydrothermal fluids. The circulation of meteoric and/or magmatic fluids within the Precambrian units provide the important elements such as Mn, Fe and Ca for mineralization. When the mineralizing fluid contact with reactable rocks, caused the formation of Mn mineralization in the Halab area.

Keywords: Manganese mineralization, Halab, Zanjan, Sanandaj- Sirjan, Iran.

For Persian Version see 207 to 218

*Corresponding author: Gh. Nabation; E-mail: gh.nabation@znu.ac.ir